

# 7. Erzeugung von Triangulierungen

Sei  $\Omega \subseteq \mathbb{R}^2$  ein beschränktes <sup>Konvexes</sup> Gebiet mit Rand  $\Gamma$ .

Wie findet man eine ~~poly~~ polygonal berechnete Approximation  $\tilde{\Omega} \approx \Omega$  und eine zulässige Triangulierung von  $\tilde{\Omega}$ ?

Die Konstante in den Fehlerabschätzungen hängt von  $\frac{1}{\sin^2(\alpha_{\min})}$  ab, wobei  $\alpha_{\min}$  der kleinste Innenwinkel der Dreiecke der Triangulierung ist.

Vermeide deswegen sehr "spitze" Dreiecke



- Notation:  $[P_i, P_j]$  Strecke/Kante zwischen  $P_i$  und  $P_j$
- $[P_i, P_j, P_k]$  Dreieck mit Ecken  $P_i, P_j, P_k$

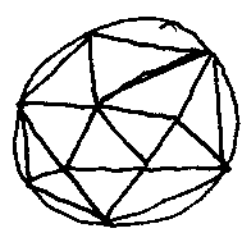
## 7.1 Naiver Algorithmus

Idee: Erzeuge eine grobe Triangulierung, die iterativ verfeinert wird.

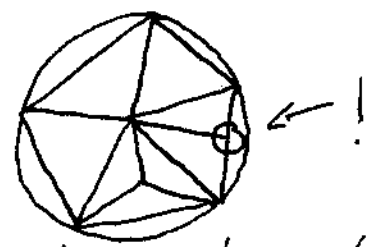
1. Setze  $i=0$ . Wähle eine grobe Triangulierung  $\mathcal{T}_i = \{T_1^i, \dots, T_{m_i}^i\}$  und setze  $\tilde{\Omega}_i := \bigcup_{k=1}^{m_i} T_k^i$ , d.h.  $\tilde{\Omega}_i :=$  Inneres von  $\bigcup_{k=1}^{m_i} T_k^i$ .

Bedingung: Jede Ecke, die auf  $\tilde{\Gamma}_i$  ( $=$  Rand von  $\tilde{\Omega}_i$ ) liegt, muss auch auf  $\Gamma$  liegen.

Richtig:

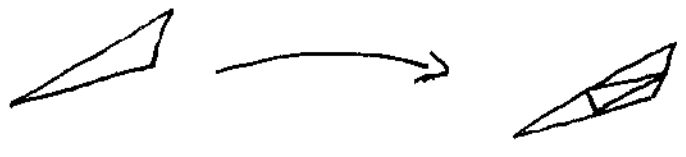


Falsch:



Verfeinere nun so, dass eine zulässige Triangulierung herauskommt.

2. Unterteile jedes Dreieck von  $T_i$ , das keine Kante auf  $\tilde{T}_i$  hat, in vier Dreiecke, indem Ecken auf den Seitenmittelpunkten der drei Kanten hinzugefügt werden:



3. Bei Dreiecken mit einer Kante auf  $\tilde{T}_i$ :

Sei (nach Umnummerierung)  $[P_1, P_2, P_3]$  Dreieck mit Kante  $[P_1, P_2] \subseteq \tilde{T}_i$ .

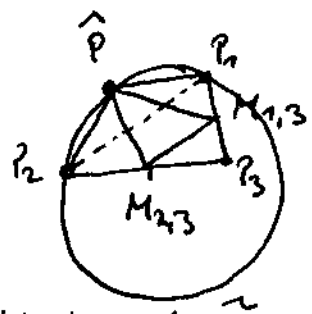
Bestimme den Schnittpunkt  $\hat{P}$  der ~~Schnittgeraden~~ <sup>Mittelsenkrechten</sup> von  $[P_1, P_2]$  mit  $T_i$ . Annahme:  $\hat{P}$  ist eindeutig

~~Entferne  $[P_1, P_2, P_3]$  aus der Triangulierung und füge stattdessen die Dreiecke~~ <sup>der dem Seitenmittelpunkt von  $[P_1, P_2]$  am ~~nächsten~~ nächsten liegt.</sup>

Bestimme die Mittelpunkte  $M_{1,3}$  von  $[P_1, P_3]$  und  $M_{2,3}$  von  $[P_2, P_3]$ . 38  
Entferne  $[P_1, P_2, P_3]$  aus der Triangulierung und füge stattdessen die Dreiecke

$$[P_1, M_{1,3}, \hat{P}], [P_2, \hat{P}, M_{2,3}], [M_{1,3}, M_{2,3}, \hat{P}], [M_{1,3}, P_3, M_{2,3}]$$

hinzufügen. Führe dies für alle Dreiecke mit Kanten auf  $\tilde{T}_i$  durch.



Zerlege Dreiecke mit mehr als einer Kante auf  $\tilde{T}_i$  analog.

4. Falls weitere Verfeinerung nötig:

Setze  $i=i+1$ ,  $\tilde{\Omega}_i = \bigcup_{k=1}^{m_i} T_k^i$  und gehe zu 2.

Problem: Die Qualität der letzten Triangulierung hängt stark von der Wahl der ersten Triangulierung ab. Beispiele siehe unten.

# 7.2 Delaunay-Triangulierung und Voronoi-Diagramm

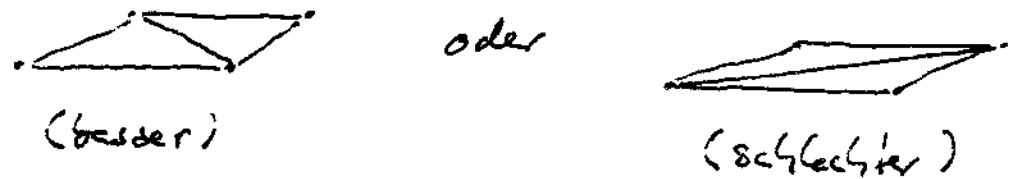
Boris Nikolajewitsch Delone (1830-1901), franz. Delaunay  
Georgi Feodosjewitsch Woronoi (1868-1908)

Literatur: Rolf Klein, "Algorithmische Geometrie", Addison-Wesley, Bonn 1997.

Annahme: Die Ecken  $P_1, \dots, P_N$  der Triangulierung sind bereits vorgegeben.  
(Wahl von  $P_i \rightarrow$  später)

Frage: Welche Punkte sollen zum gleichen Dreieck gehören?

Beispiel:



## Definition 7.1 (Bisektor, Voronoi-Diagramm)

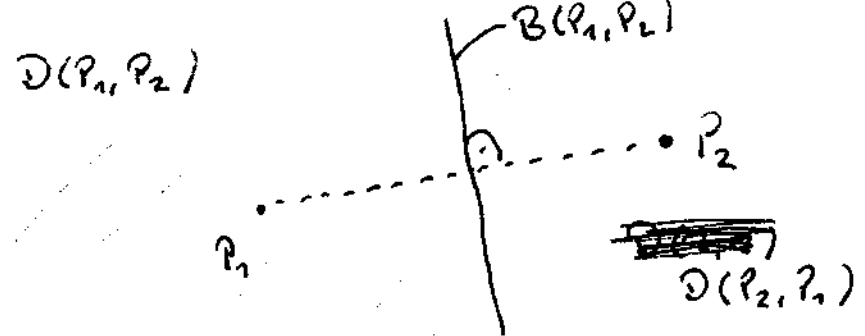
Der Bisektor  $B(P_1, P_2)$  von zwei Punkten  $P_1, P_2 \in \mathbb{R}^2$  ist die Menge aller Punkte, die von  $P_1$  und  $P_2$  den gleichen Abstand haben:

$$B(P_1, P_2) = \left\{ P \in \mathbb{R}^2 : \|P_1 - P\|_2 = \|P_2 - P\|_2 \right\}$$

Weiter sei

$$D(P_1, P_2) = \left\{ P \in \mathbb{R}^2 : \|P_1 - P\|_2 < \|P_2 - P\|_2 \right\}$$

die Menge aller Punkte, die näher bei  $P_1$  als bei  $P_2$  liegen.



Sei  $S = \{P_1, \dots, P_N\}$  eine Auswahl an Punkten  $P_k \in \mathbb{R}^2$ . Dann heißt (101)

$$VR(P_k, S) = \bigcap_{\substack{i=1 \\ i \neq k}}^N D(P_k, P_i)$$

die Voronoi-Region von  $P_k$  bezüglich  $S$ .

Interpretation:  $VR(P_k, S)$  enthält alle Punkte  $P \in \mathbb{R}^2$ , die näher bei  $P_k$  als bei  $P_1, \dots, P_{k-1}, P_{k+1}, \dots, P_N$  liegen.

Das Voronoi-Diagramm ist die Gesamtheit aller Linien zwischen den Voronoi-Regionen.

Beispiel: Siehe Folien

### Definition 7.2 (Delaunay-Triangulierung)

(102)

Die Delaunay-Zerlegung ~~erhält man~~ erhält man, wenn man zwei Punkte aus  $S = \{P_1, \dots, P_m\}$  genau dann verbindet, wenn ihre Voronoi-Regionen eine gemeinsame Kante haben, die aus mehr als einem einzigen Punkt besteht.

Bemerkung: Die Delaunay-Zerlegung ist eine geometrische Realisierung des dualen Graphen des Voronoi-Diagramms.

Jede beschränkte Fläche der Delaunay-Zerlegung hat genau so viele Kanten wie im entsprechenden Knoten des Voronoi-Diagramms zusammenlaufen.

Annahmen:

- (A1) Es gibt in  $S$  nicht vier (oder mehr) Punkte auf einem gemeinsamen Kreisbogen.  
Es gibt nicht vier Punkte auf einem Kreisbogen, denn es gibt nur drei Punkte auf einem Kreisbogen.
- (A2) Es gibt keine drei (oder mehr) Punkte auf einer gemeinsamen Geraden.  
Es gibt keine drei Punkte auf einer Geraden.

Dann besteht die Delaunay-Zerlegung von  $S$  aus Dreiecken, wird Delaunay-Triangulierung genannt und von nun an mit  $T^D(S)$  bezeichnet.

Notation: Für eine Triangulierung  $T$  mit  $N$  Punkten und  $m$  Dreiecken sei:

$$\omega(T) = (\alpha_1, \alpha_2, \alpha_3, \dots, \alpha_m)$$

die aufsteigend sortierte Folge der Innenwinkel aller Dreiecke (d.h.  $\alpha_1$  ist der kleinste Innenwinkel des „spitzigsten“ Dreiecks).

Von nun an verstehen wir unter der Triangulierung einer Punktmenge  $S$  die maximale Menge von Liniensegmenten mit Endpunkten in  $S$ , von denen sich je zwei höchstens in ihren Endpunkten schneiden. Die Kanten der konvexen Hülle von  $S$  gehören zu jeder Triangulierung von  $S$ .

(Das bedeutet, dass  $\tilde{S}$  immer konvex ist!)

Man kann zeigen: Wenn die konvexe Hülle von  $S := \{P_1, \dots, P_N\}$   $r$  Ecken hat, dann hat jede Triangulierung von  $S$  genau

$$2(N-1) - r$$

viele Dreiecke.

Die Delaunay-Triangulierung ist im folgenden Sinne optimal:

### Satz 7.3

$S$  erfülle (A1) und (A2). Sei  $\mathcal{T} \neq \mathcal{T}^D(S)$  und

$$\omega(\mathcal{T}) = (\alpha_1, \dots, \alpha_{3m})$$

$$\omega(\mathcal{T}^D(S)) = (\alpha_1^D, \dots, \alpha_{3m}^D)$$

Dann gilt entweder

$$\alpha_1^D > \alpha_1$$

oder es gibt ein  $k \in \{1, \dots, 3m-2\}$  mit

$$\alpha_1^D = \alpha_1, \dots, \alpha_k^D = \alpha_k, \alpha_{k+1}^D > \alpha_{k+1}$$

Durch diese Eigenschaft ist  $\mathcal{T}^D(S)$  eindeutig bestimmt.

Beweis: R. Klein, Kap. 5, Theorem 5.17.

### Satz 7.4

Sei  $p_i, p_j, p_l \in S$  und seien (A1) und (A2) erfüllt. Dann gilt

$[p_i, p_j, p_l] \in \mathcal{T}^D(S)$  genau dann, wenn der Umkreis von  $[p_i, p_j, p_l]$

(d.h. der eindeutig bestimmte Kreis durch  $p_i, p_j, p_l$ )

keinen Punkt  $p \in S$  im Inneren enthält.

Beweis: Folgt aus der Definition

Illustration: Siehe Folien.